

第四章 背景噪声中信号的检测

最佳检测系统，计算出似然比和最佳门限值比较，进行有无信号的判决。

似然比的计算与接收信号有关，称为最佳接收机，具体结构与信号和噪声的统计特性紧密相关，而判决门限值则取决于不同最佳准则。

检测的信号有确知信号和随机信号两种。

4.1 确知信号的检测

一、假设条件：

确知信号是指：如果信号出现了，它的幅度、频率、相位和到达时间等参量确定已知，而有无信号需要检测。相当于通信、雷达、主动声纳等系统，在无随机性传播路径中的确定距离上进行有无目标的检测。

假定噪声干扰是加性的、平稳高斯白噪声，均值为零，谱密度为 $N_0/2$ 。实际上，只能是相对信号频带而言，在一个足够宽的频带上功率谱密度均匀，就认为是白噪声。

二、最佳接收机的结构：

我们的目的是要设计一个接收机，能对输入随机过程 $\mathbf{x}(t)$ 作似然比计算，并在两个假设 \mathbf{H}_0 、 \mathbf{H}_1 中选择一个。因此，还是从求 $\mathbf{x}(t)$ 的似然比出发来设计接收机结构。

为了求得随机过程 $\mathbf{x}(t)$ 的似然函数 $p(\mathbf{x}/o)$ ， $p(\mathbf{x}/s)$ ，我们先对 $\mathbf{x}(t)$ 在时域上取样，把 $\mathbf{x}(t)$ 看成 N 个随机变量的集合，然后再取 $N \rightarrow \infty$ 时的极限。

假定噪声干扰是带宽有限的白噪声，其功率谱密度为

$$N(\omega) = \begin{cases} \frac{N_0}{2} & |\omega| \leq \omega_c \\ 0 & |\omega| > \omega_c \end{cases}$$

该噪声的自相关函数是

$$R(\tau) = \frac{1}{2\pi} \int_{-\infty}^{\infty} N(\omega) \exp(j\omega\tau) d\omega = \frac{N_0\omega_c}{2\pi} \cdot \frac{\sin \omega_c \tau}{\omega_c \tau}$$

构成高斯噪声的各随机变量为高斯变量。由于该噪声为平稳过程，所以各随机变量有相同的均值 **0** 和方差 σ_n^2 。

$$\sigma_n^2 = R(0) \rightarrow \sigma_n^2 = \frac{N_0\omega_c}{2\pi} = \frac{N_0}{2} \cdot \frac{1}{\Delta t}$$

①当无信号时，接收到随机过程为

$$x(t) = n(t)$$

其似然函数 $p(x/0)$ 就是噪声的概率密度函数

$$p(x, x_2, \dots, x_N / 0) = \frac{1}{(2\pi\sigma_n^2)^{N/2}} \exp\left\{-\frac{1}{2\sigma_n^2} \sum_{k=1}^N x_k^2\right\}$$

其中 \mathbf{x}_k 为对随机过程 $\mathbf{x}(t)$ 的取样值，是随机变量，且假设各取样值统计独立。

②当有信号时，接收到随机过程为

$$x(t) = s(t) + n(t)$$

由于信号为确定信号，随机过程 $x(t)$ 的似然函数 $p(x/s)$ 仍应是噪声的概率密度函数，方差不变，只是均值为 $s(t)$ 。

$$p(x_1, x_2, \dots, x_N / s) = \frac{1}{(2\pi\sigma_n^2)^{N/2}} \exp\left\{-\frac{1}{2\sigma_n^2} \sum_{K=1}^N (x_k - s_k)^2\right\}$$

其中 s_k 为对信号 $s(t)$ 的取样值。

似然比为

$$\lambda(x_1, x_2, \cdots, x_N) = \frac{p(x_1, x_2, \cdots, x_N / s)}{p(x_1, x_2, \cdots, x_N / 0)}$$

$$= \exp \left\{ -\frac{1}{2\sigma_n^2} \left[\sum_{k=1}^N (x_k - s_k)^2 - \sum_{k=1}^N x_k^2 \right] \right\}$$

$$= \exp \left\{ \frac{\Delta t}{N_0} \left[2 \sum_{k=1}^N x_k s_k - \sum_{k=1}^N s_k^2 \right] \right\}$$

按要求的准则确定门限值

$$\lambda(x_1, x_2, \dots, x_N) = \exp \left\{ \frac{\Delta t}{N_0} \left[2 \sum_{k=1}^N x_k s_k - \sum_{k=1}^N s_k^2 \right] \right\} > \lambda_0$$

则接受假设 \mathbf{H}_1 ，判决为有信号，否则判为无信号。

由于指数函数的单调性，不等式二边同时取对数，不等式仍然成立

$$\Delta t \frac{2}{N_0} \sum_{k=1}^N x_k s_k > \ln \lambda_0 + \frac{\Delta t}{N_0} \sum_{k=1}^N s_k^2$$

化简得

$$\Delta t \sum_{k=1}^N x_k s_k > \frac{N_0}{2} \ln \lambda_0 + \frac{1}{2} \Delta t \sum_{k=1}^N s_k^2$$

对于理想白噪声， ω_c 无限宽，使 Δt 趋于 0 及 N 趋于无穷大，极限情况下求和变成积分， $T = N\Delta t$ 。
在 $0-T$ 观察时间内，上式可写成

$$\int_0^T x(t)s(t)dt > \frac{N_0}{2} \ln \lambda_0 + \frac{1}{2} \int_0^T s^2(t)dt$$

$$\text{令 } \int_0^T x(t)s(t)dt = G$$

即 G 为输入 $\mathbf{x(t)}$ 的统计量, 是接收输入 $\mathbf{x(t)}$ 与有用信号 $\mathbf{s(t)}$ 相乘后积分所得, 称相关积分。 $\int_0^T s^2(t)dt = E$ 为信号能量。

这时的门限电平为

$$\frac{N_0}{2} \ln \lambda_0 + \frac{1}{2} E = G_0$$

这时的判决规则便为: $G > G_0$, 判决为有信号, 接受 $\mathbf{H_1}$ 假设, 否则为无信号。

对 $\mathbf{x}(t)$ 进行相关积分运算求得 G ，比对 $\mathbf{x}(t)$ 进行似然比运算简便。而 $G > G_0$ 时，必然 $\lambda > \lambda_0$ ，是等效的。这样，最佳接收机变成求接收输入 $\mathbf{x}(t)$ 与信号 $s(t)$ 的相关积分 G ，然后与一新的门限电平 G_0 相比较，来判决信号的有无，称为相关接收。

值得注意的是，在多个随机变量表示的似然比中的 $x_k - s_k$ 是时间对准的，也就是说，这里的 $\mathbf{x}(t)$ 和 $s(t)$ 必须是时间对准的，所以 G 就是 $\mathbf{x}(t)$ 和 $s(t)$ 的相关函数的最大值点（ $R(0)$ 这一点）。即利用相关函数的峰值点来判决有无信号。进行相关积分的部件便是相关器。因此，最佳接收机的结构应由相关器和门限比较器组成。相关器是最佳检测系统中的重要基本部件。

对于一般的确知信号二元检测：

$$H_0 : s_0(t)$$

$$H_1 : s_1(t)$$

可用两个相关器实现相关接收机，也可设
 $s(t) = s_1(t) - s_0(t)$ ，然后用上面形式。

三、工作特性

接收机的性能用工作特性曲线描述。即检测概率 P_d 、虚警概率和信噪比（以其一为参变量）三者的关系曲线。

因为噪声经相关器后虽被抑制但仍有残留，故输出统计量 G 含有噪声成分，是一个随机变量。因而判决还会发生错误。

在“有”、“无”信号的情况下，由于 G 是对高斯过程 $x(t)$ 线性运算后的结果，所以 G 是一个高斯随机变量。只要求得 G 的均值和方差就可以确定它的两个条件概率密度函数 $p_1(G)$ 和 $p_0(G)$ 。据此可计算虚警概率和正确检测概率。

①在假设 \mathbf{H}_0 的条件下，因 $x(t)=n(t)$

$$E[x(t)] = E[n(t)] = 0$$

G 的均值：

$$E[G] = E\left[\int_0^T x(t) \cdot s(t) dt\right] = \int_0^T E[x(t)] \cdot s(t) dt = 0$$

在假设 \mathbf{H}_1 的条件下， $x(t) = n(t) + s(t)$

$$E[G] = E\left\{\int_0^T [n(t) + s(t)]s(t) dt\right\} = \int_0^T s^2(t) dt = E$$

由于 $s(t)$ 为确知信号，在任一假设 \mathbf{H}_0 或 \mathbf{H}_1 条件下， G 有相同的方差。下面在 \mathbf{H}_0 条件下求方差

$$\begin{aligned} D[G] &= E\{[G - E[G]]^2\} \\ &= E\left\{\left[\int_0^T x(t)s(t)dt\right]^2\right\} \\ &= E\left[\int_0^T \int_0^T n(t_1)n(t_2)s(t_1)s(t_2)dt_1dt_2\right] \\ &= \int_0^T \int_0^T E[n(t_1)n(t_2)]s(t_1)s(t_2)dt_1dt_2 \\ &= \frac{N_0}{2} \int_0^T \int_0^T \delta(t_1 - t_2)s(t_1)s(t_2)dt_1dt_2 \\ &= \frac{N_0}{2} \int_0^T s^2(t)dt = \frac{N_0 E}{2} \end{aligned}$$

于是可以直接写出 $p_0(G)$ 和 $p_1(G)$

$$p_0(G) = \frac{1}{\sqrt{\pi N_o E}} \exp \left[-\frac{G^2}{N_o E} \right]$$

$$P_1(G) = \frac{1}{\sqrt{\pi N_o E}} \exp \left[-\frac{(G - E)^2}{N_o E} \right]$$

这时的虚警概率可以按下列公式计算：

$$\alpha = \int_{G_0}^{\infty} P_o(G) dG = \int_{G_0}^{\infty} \frac{1}{\sqrt{\pi N_o E}} \exp \left[-\frac{G^2}{N_o E} \right] dG$$

令 $u = \frac{G}{\sqrt{\frac{N_o E}{2}}}$ ，则积分限 G_0 换为 $\frac{G_0}{\sqrt{\frac{N_o E}{2}}} = u_0$

$$\text{则 } \alpha = \int_{u_0}^{\infty} \frac{1}{\sqrt{2\pi}} \exp\left(-\frac{u^2}{2}\right) du = 1 - \Phi(u_0)$$

其中 $\Phi(\mathbf{x})$ 为正态分布函数，可由表查得。

正确检测概率 $\mathbf{P_d}$ 为：

$$P_d = \int_{G_o}^{\infty} p_1(G) dG = \int_{G_o}^{\infty} \frac{1}{\sqrt{\pi N_o E}} \exp \left[-\frac{(G-E)^2}{N_o E} \right] dG$$

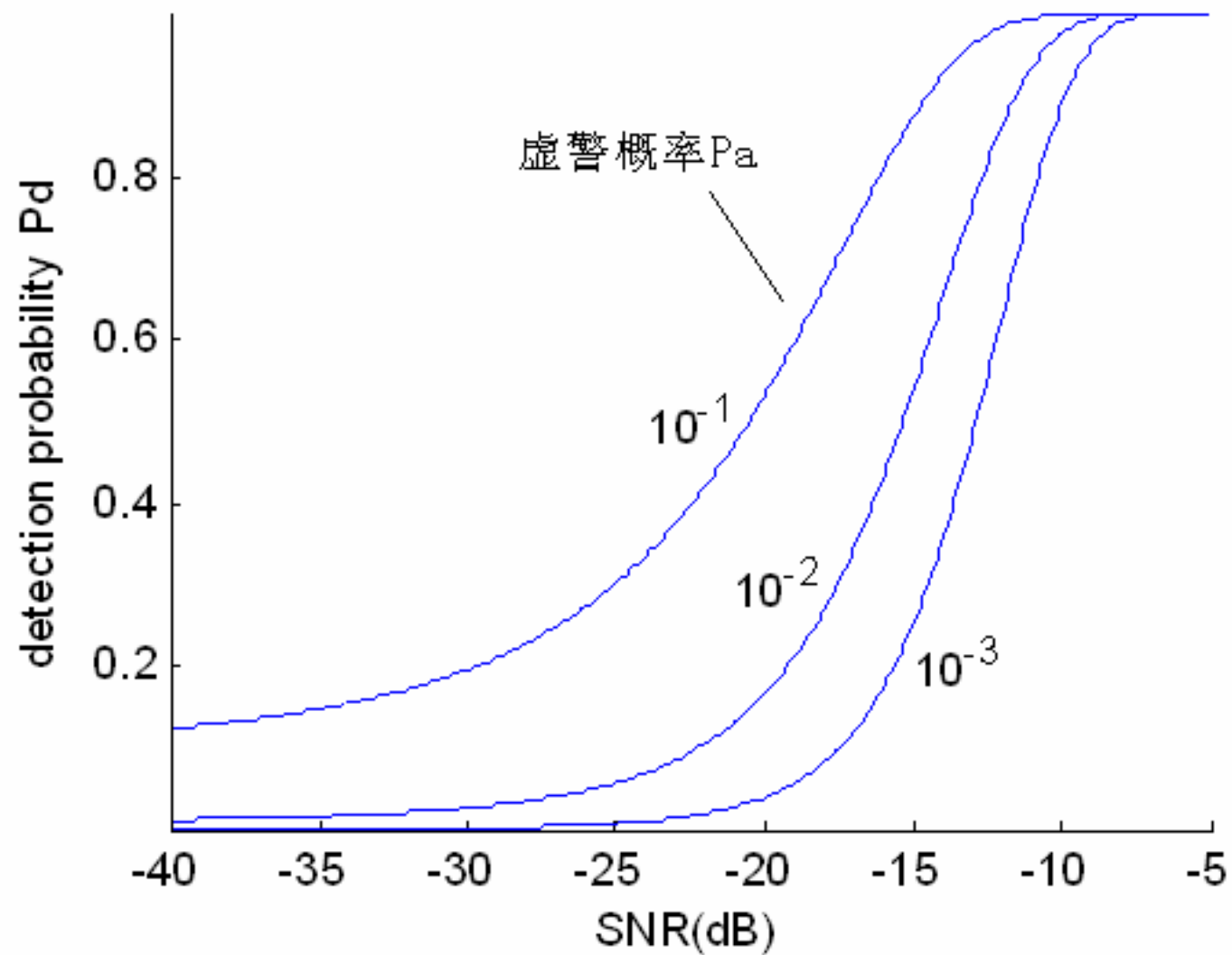
同样令 $v = \frac{G-E}{\sqrt{\frac{N_o E}{2}}}$, $u_0 = \frac{G_0}{\sqrt{\frac{N_o E}{2}}}$, 则积分限 G_0 换为

$$\frac{G_o}{\sqrt{\frac{N_o E}{2}}} - \sqrt{\frac{2E}{N_o}} = u_0 - \sqrt{d}$$

$$P_d = \int_{u_0 - \sqrt{d}}^{\infty} \frac{1}{\sqrt{2\pi}} \exp(-\frac{v^2}{2}) dv = 1 - \Phi(u_0 - \sqrt{d})$$

其中 $v = u - \sqrt{d}$, d 是信号能量与单位频带内噪声功率之比, 即反映了信噪比的大小。所以 α 、 P_d 取决于信号能量、噪声谱密度和门限电平。

由 E 、 N_0 和 G_0 三个量确定积分限后, 查表可得 α 、 P_d 值。这样就可作出接收机的工作特性曲线。它表达了虚警概率 α 和检测概率 P_d 以及信噪比 d 三者的关系。**ROC** 曲线有几种形式, 下面介绍一种。以 α 为参变量, d 为横坐标, 用分贝表示, P_d 为纵坐标, 如图 4.3。



该曲线表明，要求在一定的虚警概率条件下，要提高正确检测概率，则需要提高信噪比。或在一定的信噪比条件下，要求降低虚警概率必然也会降低正确检测概率。根据曲线可由二个参量获得第三个参量，并能计算出相应的门限值。如由 α 可求出 u_0 ，由 d 和 u_0 可求出 P_d 。

4.2 随机参量信号的检测

如果信号所有参量都确知，称为确知信号。然而，这种情况在实际中少见。通常总是有某个或几个参量未知，这些参量可能是在观测时间内不随时间变化的随机变量，称具有这种参量的信号为随机参量信号。如通信、雷达或主动声纳的接收信号，其幅度、相位、到达时间和频率等参量中的一个或几个是随机的。

4.2.1 随机相位信号的检测

一、假设条件：

由于波的传播条件变化，平台的摇摆等，均会导致信号相位的随机变化。此外，信号时延上的小的变化，也可以归结为相位上的变化来处理。

随机相位信号记为 $s(t, \varphi_s)$ ，信号的频率和到达时间确知，而其中 φ_s 为随机初相，假设它在观测时间内不变，即 φ_s 为随机变量，在 $0 \sim 2\pi$ 之间均匀分布， $p(\varphi_s) = \frac{1}{2\pi}$ 。

噪声干扰仍假定为相加的、平稳高斯白噪声，均值为零，谱密度为 $\frac{N_0}{2}$ 。

二、最佳接收机的结构

为获得接收机结构，仍从计算似然比出发。

当无信号时，接收到的随机过程 $\mathbf{x}(t)$ 只有噪声。 $\mathbf{X}(t)=\mathbf{n}(t)$ 。其概率密度函数为 $\mathbf{p}(\mathbf{x}/0)$ ，仍取决于噪声的概率密度函数。

当有信号时，接收到的随机过程 $x(t) = n(t) + s(t, \varphi_s)$ 因 φ_s 和 $\mathbf{n}(t)$ 均为随机的，所以 $\mathbf{x}(t)$ 的概率函数为联合概率密度函数 $\mathbf{p}(\mathbf{x}, \varphi_s / s)$ 。

似然比 $\lambda(\mathbf{x}, \varphi_s)$ 与 φ_s 有关。为了消除由于 φ_s 随机所带来的不确定性, 可采用平均似然比的方法。即按随机变量 φ_s 的概率密度 $p(\varphi_s)$ 求平均, 以消除 φ_s 的随机性。对其它随机参量信号同样可按这种方法求平均似然比。

$$\text{因为 } p(x, \varphi_s / s) = p_s(x / \varphi_s) p(\varphi_s)$$

$$\text{所以 } p(x / s) = \int_0^{2\pi} p(x / \varphi_s) p(\varphi_s) d\varphi_s$$

其中 $p(x / \varphi_s)$ 为条件概率密度函数, 相当于 φ_s 给定时接收到 $\mathbf{x}(t)$ 的概率密度函数。

$$\begin{aligned}
 \lambda(x) &= \frac{p(x/s)}{p(x/o)} \\
 &= \frac{\int_0^{2\pi} p(x/\varphi_s) p(\varphi_s) d\varphi_s}{p(x/0)} \\
 &= \int_0^{2\pi} \lambda(x/\varphi_s) p(\varphi_s) d\varphi_s
 \end{aligned}$$

其中 $\lambda(x/\varphi_s) = \frac{p(x/\varphi_s)}{p(x/0)}$ 称为条件似然比, 也就是当随机初

相 φ_s 固定条件下的似然比。条件似然比统计平均后所得 $\lambda(x)$, 称为平均似然比。

由于条件似然比 $\lambda(x/\varphi_s)$ 相当于 φ_s 确定条件下确知信号的似然比。在噪声和信号其他特性（除初始相位随机外）与上节假设相同的条件下，参照上节推导，取 $\Delta t \rightarrow 0$ 极限情况，得条件似然比 $\lambda(x/\varphi_s)$ 为

$$\begin{aligned}\lambda(x/\varphi_s) &= \exp \left\{ \frac{2}{N_0} \int_0^T x(t) S(t, \varphi_s) dt - \frac{1}{N_0} \int_0^T S^2(t, \varphi_s) dt \right\} \\ &= \exp \left\{ \frac{2}{N_0} G(\varphi_s) - \frac{E(\varphi_s)}{N_0} \right\}\end{aligned}$$

其中 $E(\varphi_s) = \int_0^T S^2(t, \varphi_s) dt$, 为信号能量 ,

$G(\varphi_s) = \int_0^T x(t)s(t, \varphi_s) dt$, 是随机变量 φ_s 的函数, 包含 φ_s 带来的不确定性, 检验统计量不能包含信号带来的不确定性。故不能直接用 $G(\varphi_s)$ 作为统计量来判决有无信号。下面就设法消除这种不确定性。

设随机相位信号具有如下形式：

$$S(t, \varphi_s) = A \sin(\omega_c t + \varphi_s) \quad 0 \leq t \leq T$$

利用三角函数公式分解为

$$S(t, \varphi_s) = A \sin \omega_c t \cdot \cos \varphi_s + A \cos \omega_c t \cdot \sin \varphi_s$$

$$\text{令 } S_s(t) = A \sin \omega_c t$$

$$S_c(t) = A \cos \omega_c t$$

$$\text{则 } S(t, \varphi_s) = S_s(t) \cos \varphi_s + S_c(t) \sin \varphi_s$$

代入 $G(\varphi_s)$ 表达式，得

$$\begin{aligned} G(\varphi_s) &= \int_0^T S(t, \varphi_s) x(t) dt \\ &= \int_0^T [S_s(t) \cos \varphi_s + S_c(t) \sin \varphi_s] x(t) dt \\ &= G_s \cos \varphi_s + G_c \sin \varphi_s \end{aligned}$$

其中

$$G_s = \int_0^T S_s(t) x(t) dt$$

$$G_c = \int_0^T S_c(t) x(t) dt$$

引进新变量 Z 和 θ , 令

$$Z = \sqrt{G_s^2 + G_c^2}$$

$$\theta = \operatorname{tg}^{-1} \frac{G_c}{G_s}$$

$$\text{则 } G_s = Z \cos \theta$$

$$G_c = Z \sin \theta$$

于是有

$$G(\varphi_s) = Z \cos \theta \cos \varphi_s + Z \sin \theta \sin \varphi_s = Z \cos(\varphi_s - \theta)$$

(4-35)

这时信号能量

$$\begin{aligned} E(\varphi_s) &= \int_0^T S^2(t, \varphi_s) dt = \int_0^T A^2 \sin^2(\omega_c t + \varphi_s) dt \\ &= \frac{A^2}{2} T = E \end{aligned} \quad (4-36)$$

信号能量与初相 φ_s 几乎无关。将 (4-35) 和 (4-36) 式代入条件似然比表达式，有

$$\lambda(x / \varphi_s) = \exp \left\{ \frac{2}{N_0} Z \cdot \cos(\varphi_s - \theta) - \frac{E}{N_0} \right\}$$

代入平均似然比表达式，可得平均似然比 $\lambda(x)$ 为

$$\begin{aligned}\lambda(x) &= \int_0^{2\pi} \lambda(x/\varphi_s) p(\varphi_s) d\varphi_s \\ &= \exp\left(-\frac{E}{N_0}\right) \frac{1}{2\pi} \int_0^{2\pi} \exp\left\{\frac{2}{N_0} Z \cos(\varphi_s - \theta)\right\} d\varphi_s \\ &= \exp\left(-\frac{E}{N_0}\right) I_0\left(\frac{2Z}{N_0}\right) \quad (4-37)\end{aligned}$$

其中： $I_0(u) = \frac{1}{2\pi} \int_0^{2\pi} \exp\{u \cdot \cos(\varphi - \theta)\} d\varphi$ 为零阶修正贝塞尔函数。

这时判决规则变为：

$$\lambda(x) = \exp\left(-\frac{E}{N_0}\right) I_0\left(\frac{2Z}{N_0}\right) > \lambda_0 \quad (4-38)$$

判决为有信号，接受 \mathbf{H}_1 假设。

将上式两边取对数， \mathbf{H}_1 假设成立的判决不等式变为

$$\ln I_0\left(\frac{2Z}{N_0}\right) > \ln \lambda_0 + \frac{E}{N_0}$$

如果根据此式设计最佳接收机，则结构复杂。不过，由于对 \mathbf{Z} 的变换都是单调的（ $I_0(u)$ 是 u 的单调函数，对数也是单调函数）。因此可经变换后直接用 \mathbf{Z} 本身进行判决，判决规则变为

$$Z > \frac{N_0}{2} \text{arc}I_0[\lambda_0 \exp(\frac{E}{N_0})] \quad (4-39)$$

门限电平相应地变为 Z_0

$$Z_0 = \frac{N_0}{2} \text{arc}I_0[\lambda_0 \exp(\frac{E}{N_0})] \quad (4-40)$$

当 $Z > Z_0$ 时，必然有 $\lambda(x) > \lambda_0$ ，所以最佳接收机变为对输入 $x(t)$ 进行 \mathbf{Z} 运算，然后与门限电平 Z_0 比较，从而作出判决。最佳接收机的结构图如图 4.4。

当 $z > z_0$ 时，必然有 $\lambda(x) > \lambda_0$ ，所以最佳接收机变为对输入 $x(t)$ 进行 **Z** 运算，然后与门限电平 z_0 比较，从而作出判决。最佳接收机的结构图如图 4.4。

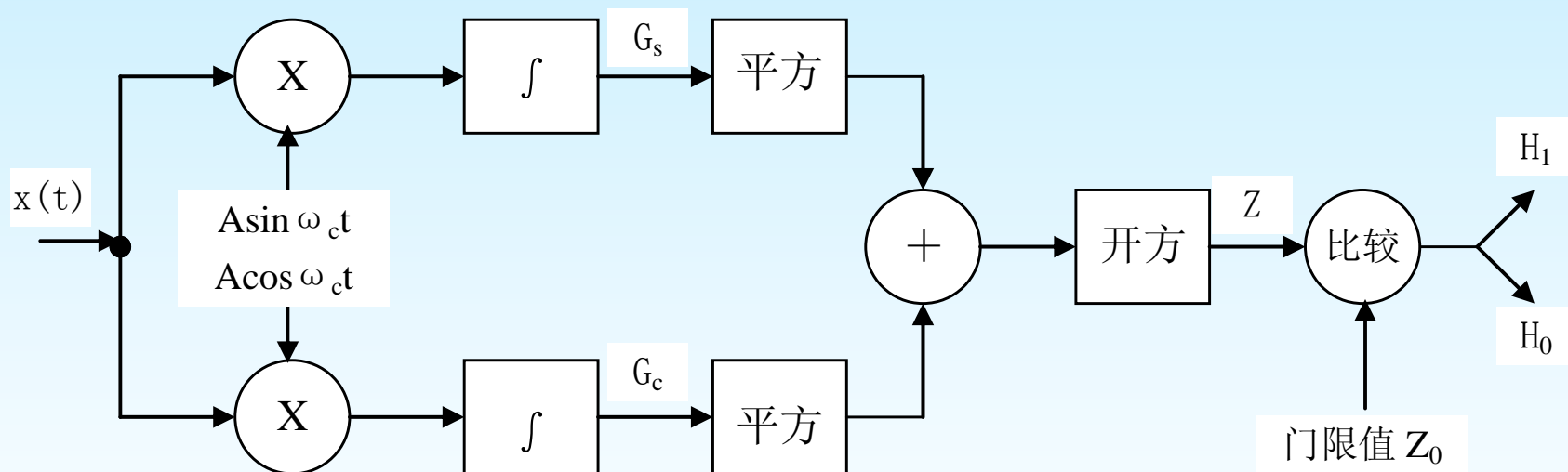


图 4.4 随机相位信号的最佳接收机的结构图

从图中可以看出，首先将接收到的信号 $x(t)$ 分成两路，分别与 $A\sin\omega_c t$ 、 $A\cos\omega_c t$ 相乘积分，进行相关处理，然后平方求和，开方得 Z ，这种对 $x(t)$ 进行 Z 运算的系统称为 Z 计算器。如果与确知信号的检测一样，直接只用一个相关器求得统计量 G ，由于这个 G 包含信号初相 φ_s 所造成的不确定性，则不能直接对该 G 进行信号有无的判决。现在，把随机相位信号看成两个振幅随机的正交信号之和，通过两个通道的正交相关处理。两个相关器分别输出 G_s 和 G_c ， G_s 和 G_c 与信号随机初相 φ_s 有关，但经过平方求和所得 Z^2 就与 φ_s 无关了，消除了 φ_s 给判决带来的不确定性。

注意：上述讨论曾假设信号为单载频，对复杂信号该方法原理仍适用。对于确知信号的最佳检测，仅采用相关器，它属于线性系统。而对于随机相位信号的最佳检测，则必须采用更复杂的非线性系统 Z 计算器

三、工作特性

输出统计量 Z 仍含有噪声成分，是一个随机变量，用 Z 进行判决还会有错误。下面就计算这种接收机的两种错误概率，讨论其工作性能。求出 Z 的条件概率密度函数 $p(Z/0)$ 和 $p(Z/s)$ ，就可求得虚警概率 α 和正确检测概率 P_d 。

因为 $Z = \sqrt{G_s^2 + G_c^2}$ ，所以要确定 Z 的概率密度函数，就得先求出 G_s 和 G_c 的概率密度函数。因为输入噪声是高斯的，而 G_s 、 G_c 为 $x(t)$ 的线性泛函数，故也是高斯的。只要求得方差和均值，就可写出其概率密度函数。

以假设 \mathbf{H}_1 来说, 对于一个给定的相位值, G_S 与 G_C 的均值是

$$E[G_S / \varphi_S] = E \cos \varphi_S$$

和

$$E[G_C / \varphi_S] = E \sin \varphi_S$$

其中

$$E = \frac{A^2}{2} T$$

有无信号方差是相同的, 同上节求法。

$$\sigma_{G_S}^2 = \sigma_{G_C}^2 = \sigma_{G_O}^2 = \frac{N_0 E}{2}$$

由于 \mathbf{G}_S 和 \mathbf{G}_C 正交不相关，又是高斯变量，所以它们是统计独立的。联合概率密度函数等于各自概率密度函数的乘积。

$$\begin{aligned} P_1(G_S, G_C / \varphi_S) &= P_1(G_S / \varphi_S) P_1(G_C / \varphi_S) \\ &= \frac{1}{2\pi\sigma_{G_0}^2} \exp \left[-\frac{(G_S - E \cos \varphi_S)^2 + (G_C - E \sin \varphi_S)^2}{2\sigma_{G_0}^2} \right] \end{aligned}$$

利用定义式 $G_s = Z \cos \theta$ 和 $G_c = Z \sin \theta$ 进行变量置换后，
得

$$P_1(Z, \theta / \varphi_s) = P_1(G_s, G_c / \varphi_s) \cdot |J|$$

这里雅可比为

$$J = \frac{\partial(G_s, G_c)}{\partial(Z, \theta)} = \begin{vmatrix} \cos \theta & \sin \theta \\ -Z \sin \theta & Z \cos \theta \end{vmatrix} = Z ,$$

所以有

$$p_1(Z, \theta / \varphi_s) = \frac{Z}{2\pi\sigma_{G_0}^2} \exp \left[-\frac{Z^2 + E^2 - 2ZE \cos(\theta - \varphi_s)}{2\sigma_{G_0}^2} \right]$$

对 θ 从 0 到 2π 积分后,得到

$$p_1(Z / \varphi_s) = \frac{Z}{\sigma_{G_0}^2} I_0\left(\frac{ZE}{\sigma_{G_0}^2}\right) \exp\left(-\frac{Z^2 + E^2}{2\sigma_{G_0}^2}\right)$$

以上都假设 φ_s 为某一固定值,若 φ_s 为任意值时,则有

$$\begin{aligned} p_1(Z) &= \int_0^{2\pi} p_1(Z / \varphi_s) \frac{d\varphi_s}{2\pi} \\ &= \frac{Z}{\sigma_{G_0}^2} I_0\left(\frac{ZE}{\sigma_{G_0}^2}\right) \exp\left(-\frac{Z^2 + E^2}{2\sigma_{G_0}^2}\right) \end{aligned}$$

可见, 有信号时 Z 的概率密度函数为莱斯分布。

对于假设 $H_0, E = 0, I_0(0) = 1$ ，故

$$p_0(Z) = \frac{Z}{\sigma_{G_0}^2} \exp\left(-\frac{Z^2}{2\sigma_{G_0}^2}\right) \quad (4-4)$$

当无信号时， Z 的概率密度函数为瑞利分布。

求出 Z 的概率密度函数之后，就可计算虚警概率 α 和正确检测概率 P_d 。

$$\begin{aligned}
 \alpha &= \int_{Z_0}^{\infty} \frac{Z}{\sigma_{G_0}^2} \exp\left(-\frac{Z^2}{2\sigma_{G_0}^2}\right) dz \\
 &= \exp\left(-\frac{Z_0^2}{2\sigma_{G_0}^2}\right) = \exp\left(-\frac{z_0^2}{2}\right)
 \end{aligned} \tag{4-43}$$

其中

$$z_0 = \frac{Z_0}{\sigma_{G_0}}$$

$$\begin{aligned}
 P_d &= \int_{Z_0}^{\infty} \frac{Z}{\sigma_{G_0}^2} \exp\left(-\frac{Z^2 + E^2}{2\sigma_{G_0}^2}\right) I_0\left(\frac{ZE}{\sigma_{G_0}^2}\right) dZ \\
 &= \int_{z_0}^{\infty} z \exp\left(-\frac{z^2 + d^2}{2}\right) I_0(d \cdot z) dz \quad (4-44)
 \end{aligned}$$

其中 $d = \frac{E}{\sigma_{G_0}}, z = \frac{Z}{\sigma_{G_0}}$

这个积分是马库姆 **Q** 函数。

对于给定的 d 、 z_0 值，可以查函数表得到 P_d 和 α ，这样就可作出接收机的 **ROC** 曲线。如图 4.5 所示。为了比较，图中也画出了确知信号的最佳接收机的 **ROC** 曲线。从图中可以看出，要求达到同样的虚警概率和正确检测概率，对随机相位信号比对确知信号要求信噪比增大 **1dB** 左右，这是由于不知道或者未利用相位信息的缘故。

4.2.2 随机频率信号的检测

一、假设

从运动目标反射回来的信号，其频率与发射信号的频率为相差多普勒频移， $\Delta f_d = f_c \cdot \frac{2v_r}{c}$ （其中 v_r 为目标运动的径向速度， c 为声速）。由于 v_r 是未知的，所以多普勒频移 Δf_d 也未知，反映为接收信号的频率是未知的，作为随机频率处理。

设信号为 $S(t, \omega_s, \varphi_s) = A \sin(\omega_s t + \varphi_s)$ $0 \leq t \leq T$ ，信号振

幅 A 确知。初相 φ_s 是随机变量仍为均匀分布（在 $0 \sim 2\pi$ 间）。

由于目标速度范围可知，接收信号频率范围也就可知。信号频率 ω_s 是随机变量，分布于 (ω_L, ω_M) 区间，其概率密度为 $p(\omega_s)$ 。

噪声干扰仍假设为相加的、平稳高斯白噪声，均值为零，

谱密度为 $\frac{N_0}{2}$ 。

二、最佳接收机的结构

直接用随机相位信号似然比式，可得到以 ω_s 为条件（ ω_s 为某一固定值）的似然比

$$\lambda(x/\omega_s) = \exp\left(-\frac{E}{N_0}\right) I_0\left(\frac{2Z}{N_0}\right) \quad (4-45)$$

其中

$$Z = \left\{ \left[\int_0^T x(t) A \sin \omega_s t dt \right]^2 + \left[\int_0^T x(t) A \cos \omega_s t dt \right]^2 \right\}^{\frac{1}{2}}$$

平均似然比 $\lambda(x)$

$$\lambda(x) = \int_{\omega_L}^{\omega_M} \lambda(x/\omega_s) p(\omega_s) d\omega_s \quad (4-46)$$

将 $\omega_L - \omega_M$ 范围划成 M 个区域，并认为在这些小区间内 $P(\omega_s)$ 相等。

$$\begin{cases} \omega_i = \omega_L + i(\Delta\omega) \\ M = \frac{\omega_M - \omega_L}{\Delta\omega} \end{cases} \quad i = 1, 2, \dots, M$$

将 $\lambda(x)$ 改写成离散形式

$$\lambda(x) = \sum_{i=1}^M \lambda(x/\omega_i) P(\omega_i) \quad (4-47)$$

其中 $P(\omega_i) = p(\omega_i)\Delta\omega$

可按此式，设计似然比计算器加门限比较器构成的最佳接收机，但这种系统结构比较复杂。如果从多择一假设检验的观点出发，可以得到一个比较简化的方案。信号频率具有 M 个可能值之一。这里将每个频率 ω_i 对应于一个假设 H_i ，没有信号存在对应于 H_0 。假设。

$$\begin{aligned} H_0 : & \quad x(t) = n(t) \\ H_1 : & \quad x(t) = n(t) + A \sin(\omega_1 t + \varphi_s) \\ & \vdots \\ & \vdots \\ H_M : & \quad x(t) = n(t) + A \sin(\omega_M t + \varphi_s) \end{aligned}$$

为简单起见，假定 $P(\omega_i)$ 是均匀分布。则 H_i 假设对 H_0 假设的似然比为

$$\lambda_i = \frac{p(x/\omega_i)}{p(x/o)} = \exp\left(-\frac{E}{N_0}\right) I_0\left(\frac{2Z_i}{N_0}\right) \quad (4-48)$$

如果没有一个 λ_i 超过门限值 λ_0 ，则判断 \mathbf{H}_0 假设成立；

反之，则判断对应于最大 λ_i 的假设 \mathbf{H}_i 成立。为简化起见，可用 \mathbf{Z}_i 来进行门限比较，当 \mathbf{Z}_i 中最大者超过

$$Z_0 = \frac{N_0}{2} \text{arc}I_0[\lambda_0 \exp(\frac{E}{N_0})] G_s$$

时，则判断 \mathbf{H}_i 假设成立；反之，没有一个 \mathbf{Z}_i 超过门限值，则 \mathbf{H}_0 假设成立。这种最佳接收机的结构如图 4.5 所示。

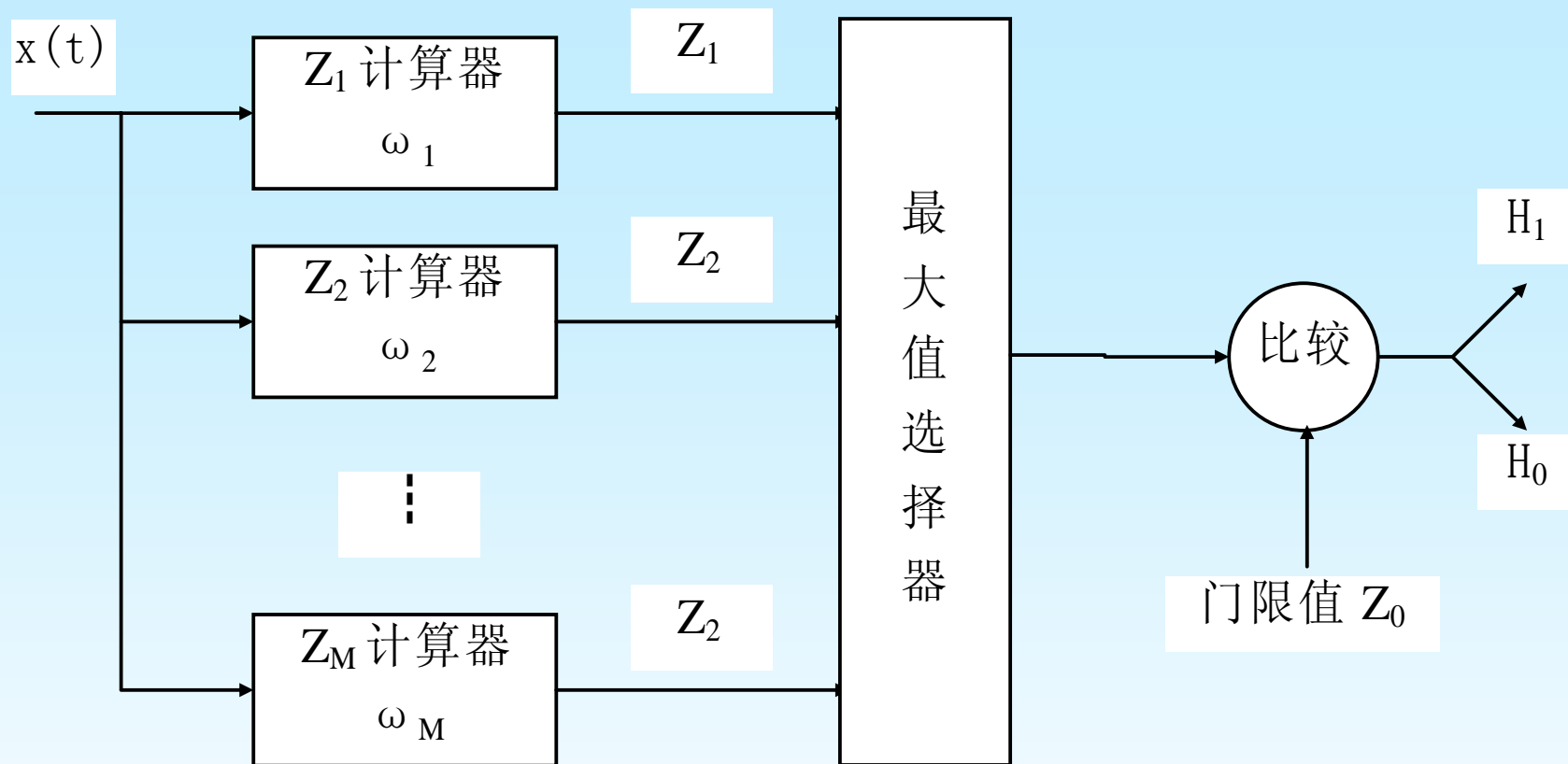


图 4.5

相当于随机相位信号检测系统重复多路，各路对应频率 ω_i ，然后在 M 路中选取其中输出最大者与门限值 Z_0 比较，进行判决。

4.3 高斯噪声背景下高斯信号的检测

一、假设条件

对于噪声监测系统、被动声呐等，信号是目标的辐射噪声。现假设，输入信号和噪声干扰都是限时限带的平稳高斯随机过程，均值为零，并具有任意功率谱。

二、随机过程的富氏变换

高斯噪声中高斯信号的检测，仍采用似然比检测。

根据抽样定理，一个限时限带的随机过程，若其时间长度 T ，谱宽为 W ，则可完全由时域抽样或频域抽样所得的 $2TW$ 个随机变量来描述。为了计算似然比，我们必须给出这 $2TW$ 随机变量的联合概率密度函数。

两种办法，一种是采用时域抽样，但对于非白噪声，时域抽样点之间彼此相关，因而相应的联合概率密度函数有比较复杂的形式。因此采用频域抽样，这就需要先求出随机过程的频谱。

设 $\mathbf{x}(t)$ 为平稳随机过程的一样本函数，受限于 $(-2\pi W, 2\pi W)$ 频率范围，作 $(0 \leq t \leq T)$ 的截断，并以 T 为周期作周期延拓，然后展开为富氏级数

$$x(t) = \sum_{n=-TW}^{TW} X(n) \exp(j\omega_n t) \quad (4-49)$$

$$X(n) = \frac{1}{T} \int_0^T x(t) \exp(-j\omega_n t) dt \quad (4-50)$$

其中 $\omega_n = n \frac{2\pi}{T}$ ， $X(n) = X(\omega_n)$ ， \mathbf{n} 的取值范围为 $(-TW \sim TW)$ 。

令 $\mathbf{X}(\mathbf{n})=\mathbf{a}(\mathbf{n})+\mathbf{j}\mathbf{b}(\mathbf{n})$, 则 $\mathbf{x}(\mathbf{t})$ 可用三角级数来表示:

$$x(t) = a_0 + \sum_{n=1}^{TW} [2a(n)\cos\omega_n t - 2b(n)\sin\omega_n t] \quad (4-51)$$

$$a(n) = \frac{1}{T} \int_0^T x(t) \cos(\omega_n t) dt \quad (4-52)$$

$$b(n) = -\frac{1}{T} \int_0^T x(t) \sin(\omega_n t) dt \quad (4-53)$$

$x(t)$ 和 $X(n)$ 仅仅在 $(0, T)$ 时间内唯一对应。以上是对一个样本函数展开的，所以，得 $X(n)$ 或 $a(n)$ 、 $b(n)$ 为随机变量。可这样理解：富氏级数展开实际是针对每一个样本函数进行的，由于样本函数是依某种概率规则出现的，所以相应的富氏系数 $X(n)$ 或 $a(n)$ 、 $b(n)$ 的取值也是依同一概率出现的，即 $X(n)$ 或 $a(n)$ 、 $b(n)$ 是随机变量。

为了能够写出各富氏系数的联合概率密度函数，必须研究富氏系数的相关性。如若各系数之间不相关，就可简化联合概率密度函数的求解。

原假设随机过程 $x(t)$ 的均值为零，即 $E[x(t)]=0$ ，由此推出随机变量 $X(n)$ 或 $a(n)$ 、 $b(n)$ 也是零均值，

$$E[X(n)] = E[a(n)] = E[b(n)] = 0$$

各富氏系数 $a(n)$ 与 $a(m)$ (或 $b(n)$ 与 $b(m)$ 及 $a(n)$ 与 $b(m)$) 的协方差, 在零均值条件下就是二阶矩。当观察时间 T 足够长时, 可以证明:

$$E[a(n)a(m)] = \begin{cases} \frac{S_x(\omega_n)}{2T} & n = m \\ 0 & n \neq m \end{cases}$$

$$E[b(n)b(m)] = \begin{cases} \frac{S_x(\omega_n)}{2T} & n = m \\ 0 & n \neq m \end{cases}$$

$$E[a(n)b(m)] = 0 \quad \text{任意 } n \text{ 和 } m$$

其中 $S_x(\omega_n)$ 为随机过程 $x(t)$ 的功率谱密度函数在 ω_n 处的取值。

再考虑复富氏系数 $\mathbf{X}(n)$ 与 $\mathbf{X}(m)$ 的协方差。

$$\begin{aligned} E[X(n)X^*(m)] &= E\{[a(n) + jb(n)][a(m) - jb(m)]\} \\ &= E[a(n)a(m)] + E[b(n)b(m)] + jE[a(m)b(n)] - jE[a(n)b(m)] \\ &= \begin{cases} \frac{S_x(\omega_n)}{T} & n = m \\ 0 & n \neq m \end{cases} \end{aligned}$$

以上这些结果表明，当观察时间 T 足够长时，不同频率的付氏系数是不相关的。即使在相同频率下， $a(n)$ 和 $b(m)$ 也是不相关的。

三、最佳拉收机的结构

为导出最佳接收机的结构，需求出富氏系数的概率密度函数和似然比。

按定义，由于 $a(n)$ 和 $b(n)$ 均为 $x(t)$ 的线性泛函数，所以它们都是高斯变量。显然， $X(n)$ 也是高斯变量。

先求出一维复高斯变量 $X(n)$ 的概率密度函数。实高斯变量 $a(n)$ 和 $b(n)$ 互不相关，对于高斯分布而言，不相关就意味着独立，所以 $a(n)$ 和 $b(n)$ 的联合概率密度函数即为

$$p[a(n), b(n)] = \frac{1}{2\pi \cdot \frac{S_x(\omega_n)}{2T}} \exp \left\{ -\frac{1}{2} \frac{2T}{S_x(\omega_n)} [a^2(n) + b^2(n)] \right\}$$

将关系式

$$a^2(n) + b^2(n) = |X(n)|^2$$

$$\sigma_{X_n}^2 = \frac{S_x(\omega_n)}{T}$$

代入上式，得到 $\mathbf{X(n)}$ 的概率密度函数为

$$p[X(n)] = \frac{1}{\pi \sigma_{X_n}^2} \exp \left[-\frac{|X(n)|^2}{\sigma_{X_n}^2} \right] \quad (4-55)$$

$p[a(n), b(n)]$ 和 $p[X(n)]$ 一样，都是描述同一个复随机变量 $X(n)$ 的概率分布，只不过 $p[a(n), b(n)]$ 是以 $X(n)$ 的实部和虚部两个实变量 $a(n), b(n)$ 为自变量的概率密度函数。

频域抽样点组 $\{X(n)\}$ 完全代表了原输入过程 $x(t)$ 。我们只考虑所有样本波形均无直流项的随机过程， $\bar{x}(t) = 0$ ，即 $X(0) = 0$ 。又注意正负频率的复共轭关系， $X(-n) = X^*(n)$ ，所以真正携带信息的频域复样点只有 TW 个： $X(1), X(2), \dots, X(TW)$ 。由这 TW 个复随机变量构成一个 TW 维复随机向量 \mathbf{X} 。
$$\mathbf{X} = [X(1), X(2), \dots, X(TW)]。$$

当 $\mathbf{x}(t)$ 是高斯过程时，可以证明 \mathbf{X} 是一个高斯向量。 \mathbf{X} 的概率密度函数，代表了所有富氏系数的联合概率密度函数。不同频率成分的富氏系数 $X(1), X(2), \dots, X(TW)$ 是互不相关的，即相互独立的，所以向量 \mathbf{X} 可具有下列形式的复高斯密度函数

$$\begin{aligned} p(X) &= \prod_{n=1}^{TW} \frac{1}{\pi \sigma_{X_n}^2} \exp \left[-\frac{|X(n)|^2}{\sigma_{X_n}^2} \right] \\ &= \left[\prod_{n=1}^{TW} \frac{1}{\pi \sigma_{X_n}^2} \right] \cdot \exp \left[-\sum_{n=1}^{TW} \frac{|X(n)|^2}{\sigma_{X_n}^2} \right] \end{aligned} \quad (4-56)$$

在 \mathbf{H}_0 情况下，即只有噪声干扰时。 $x(t) = n(t)$ ，设噪声干扰的功率谱为 $N(\omega)$ ，则

$$\sigma_{X_n}^2 \Big|_{H_0} = \frac{S_x(\omega_n)}{T} \Big|_{H_0} = \frac{N(\omega_n)}{T}$$

由此得 \mathbf{H}_0 情况下 \mathbf{X} 的概率密度函数为

$$p_0(\mathbf{X}) = A \exp \left\{ - \sum_{n=1}^{TW} T \frac{|X(n)|^2}{N(\omega_n)} \right\}$$

式中 A 为与 $X(n)$ 无关的量。

在 \mathbf{H}_1 情况下，噪声信号加噪声干扰， $x(t) = s(t) + n(t)$ 。设信号的功率谱密度为 $S(\omega)$ ，信号和干扰（加性噪声）相互独立，则

$$\sigma_{X_n}^2 \Big|_{H_1} = \frac{N(\omega_n)}{T} + \frac{S(\omega_n)}{T}$$

由此得 \mathbf{H}_1 情况下 \mathbf{X} 的概率密度函数为

$$p_1(\mathbf{X}) = B \exp \left\{ - \sum_{n=1}^{TW} T \cdot \frac{|X(n)|^2}{N(\omega_n) + S(\omega_n)} \right\}$$

式中 \mathbf{B} 是与 $X(n)$ 无关的量。

似然比为两似然函数之比，即

$$\lambda(\mathbf{X}) = \frac{p_1(\mathbf{X})}{p_0(\mathbf{X})}$$
$$= \frac{B}{A} \exp \left\{ \sum_{n=1}^{TW} T |X(n)|^2 \left[\frac{1}{N(\omega_n)} - \frac{1}{N(\omega_n) + S(\omega_n)} \right] \right\}$$

用似然比计算器按上式计算出似然比 $\lambda(x)$ ，然后与由指定准则所确定的门限值 λ_0 进行比较，就构成了似然比接收系统。判决规则为

$$\frac{B}{A} \exp \left\{ \sum_{n=1}^{TW} T |X(n)|^2 \left[\frac{1}{N(\omega_n)} - \frac{1}{N(\omega_n) + S(\omega_n)} \right] \right\} > \lambda_0$$

接收 \mathbf{H}_1 假设。

由于指数函数的单值性和单调性，不等式两边同时取对数，不等式仍成立。取对数并移项后得

$$G = \sum_{n=1}^{TW} T |X(n)|^2 \left[\frac{1}{N(\omega_n)} - \frac{1}{N(\omega_n) + S(\omega_n)} \right] \quad (4-57)$$
$$> \ln \left[\frac{A}{B} \lambda_0 \right] = G_0$$

G 为新的统计检验量， G_0 为新的门限值。当 $G > G_0$ 时，必然

$\lambda(x) > \lambda_0$ ，两者等价。

若令某一滤波器的传输函数 $H(\omega)$ 满足

$$\begin{aligned} |H(\omega)| &= \left[\frac{1}{N(\omega)} - \frac{1}{N(\omega) + S(\omega)} \right]^{\frac{1}{2}} \\ &= \left[\frac{S(\omega)}{N(\omega)[N(\omega) + S(\omega)]} \right]^{\frac{1}{2}} \end{aligned} \quad (4-58)$$

且令 $Y(n) = X(n)H(\omega_n)$, $Y(n)$ 为 $x(t)$ 在频域上的抽样点 $X(n)$ 通过传输函数为 $H(\omega)$ 的滤波器的输出。则对数似然比不等式可改写为

$$G = T \sum_{n=1}^{TW} |X(n)H(\omega_n)|^2 = T \sum_{n=1}^{TW} |Y(n)|^2 > G_0$$

根据周期函数的巴塞伐尔定理，有

$$\int_0^T y^2(t)dt = 2T \sum_{n=1}^{TW} |Y(n)|^2$$

其中 $y(t)$ 是任意时间波形， $Y(n)$ 是它的频率为 ω_n 的富氏系数。于是似然比检测的判决规则最终可写为

$$G = \frac{1}{2} \int_0^T y^2(t)dt > G_0 \quad (4-59)$$

接受 H_1 假设。

通过上面的计算，将频域上的结果转化为时域上的表达式。这样，最佳接收机可以描述为：按时间截段 $(0, T)$ 内的随机过程 $x(t)$ ，通过一个幅度特性由 (4-58) 式所规定的预选滤波器，然后进行平方积分，输出量与一个新的门限电平 G_0 相比较。略去似然比检测的判决规则中无关重要的因子 $\frac{1}{2}$ ，其结构如图 4.6 所示。

四、最佳接收机物理意义的讨论

我们知道，最佳检测的目的是尽可能准确无误地区分 \mathbf{H}_0 和 \mathbf{H}_1 ， \mathbf{H}_0 和 \mathbf{H}_1 的输入波形都是零均值高斯过程。因为高斯过程是由均值和功率谱（或相关函数）所完全确定的，故在零均值条件下， \mathbf{H}_0 和 \mathbf{H}_1 所对应的输入过程的区别仅在于功率谱有所不同。功率谱包括谱的形状和谱级（功率）。

下面讨论不同功率谱的情况。

1、限带白谱情况

当信号和干扰都是限带白高斯过程。这时 $S(\omega)$ 和 $N(\omega)$ 都只在有限频带 $(-2\pi W, 2\pi W)$ 内取非零的常数，称为限带白谱。显然，信号加干扰的过程也同样具有有限带白谱。因此， \mathbf{H}_0 和 \mathbf{H}_1 两种情况下的输入过程的谱形状是相同的，唯一可以利用的差异点只是两者的谱级（功率）不同。

这时预选滤波器的传输函数 $H(\omega)$ 等于常数，如略去这常数因子，最佳接收机简化为平方积分系统。其运算式为

$$\int_0^T [x(t)]^2 dt$$

它代表了样本波形在截断时间 T 内的能量。可见白高斯噪声干扰下检测白高斯信号的最佳接收机是能量检测器。只能根据输出能量的大小来判别有无信号。

2、任意功率谱情况

当输入过程的功率谱不是白谱噪声,则可利用的信息不仅有能量的差异,而且还有谱形状的差异。谱形状信息的利用体现在预选滤波器传输函数 $H(\omega)$ 的幅度特性上:

$$|H(\omega)| = \left\{ \frac{S(\omega)}{N(\omega)[N(\omega) + S(\omega)]} \right\}^{\frac{1}{2}}$$

通常感兴趣的是小输入信噪比情况, 这时

$$|H(\omega)| \approx \frac{S^{\frac{1}{2}}(\omega)}{N(\omega)} \quad (4-60)$$

上式所描述的滤波器称厄卡特(Eckart)滤波器。为了看清楚它的作用，幅度传输特性 $|H(\omega)|$ 分解为以下两个因子：

$$|H(\omega)| = \frac{1}{N^{\frac{1}{2}}(\omega)} \cdot \frac{S^{\frac{1}{2}}(\omega)}{N^{\frac{1}{2}}(\omega)}$$

这两个因子分别代表了滤波器的两个基本作用。

(1) 第一个因子 $\frac{1}{N^{\frac{1}{2}}(\omega)}$ 表示对噪声干扰的预白化作用，噪

声干扰通过预白网络后，功率谱变为常数 1，即“白谱”；而信

号通过预白网络后，功率谱变为 $\frac{S(\omega)}{N(\omega)}$

(2) 第二个因子 $\frac{S^2(\omega)}{N^2(\omega)}$ 表示对预白网络的输出信号进行匹

配，称为匹配网络。匹配网络的功率传输函数 $\frac{S(\omega)}{N(\omega)}$ 与预白后

的信号功率谱有完全相同的形式。这就是说，在任何频率上，只要经过预白的信号功率谱有较大的数值，匹配网络相应地就有较大的功率传输系数。所以匹配网络的传输特性是 强调那些信噪比较大的频率成分，而抑制信噪比较小的频率成分，从而提高信噪比。在上述意义下，厄卡特滤波器具有最佳预先滤波器的作用。